

Güçlü S-box Yapıları Üretmek İçin Yeni Bir Yaklaşım

Fırat Artuğer*¹ 

*¹ Munzur Üniversitesi Mühendislik Fakültesi Bilgisayar Mühendisliği, TUNCELİ

(Alınış / Received: 20.02.2023, Kabul / Accepted: 25.04.2023, Online Yayınlanma / Published Online: 02.05.2023)

Anahtar Kelimeler

S-box
Lineer olmama
Simetrik şifreleme
Kaotik harita

Öz: S-box, kriptografik yapılar için hayati öneme sahiptir. Çünkü bir simetrik şifreleme algoritmasında karıştırma olarak adlandırdığımız gereksinimi yerine getirmektedir. Bu yüzden geliştirilecek olan simetrik şifreleme algoritmasının başarımı önemli ölçüde s-box yapısına bağlı olacaktır. Bir s-box yapısı olabildiğince lineer bir yapıya sahip olmamalıdır. Yani bir s-box yapısının bakılması gereken en önemli kriteri yüksek lineer olmama değeridir. Lineer olmama değeri ne kadar yüksek olursa algoritmanın kırılması o kadar zor olacaktır. Bir s-box elde etmek için genellikle kaotik yöntemler kullanılmaktadır. Ancak bu şekilde elde edilen s-box yapılarında lineer olmama değeri düşüktür. Bu çalışmada özellikle bu şekilde üretilen s-box yapılarının lineer olmama değerini hızlı bir şekilde arttıran bir yöntem önerilmektedir. Bu yöntemde rastgele elde edilmiş bir s-box yapısında ilk değer sırasıyla diğer tüm elemanlarla yer değiştirilir. Bu şekilde s-box yapısının lineer olmama değeri artar veya eşit kalırsa s-box güncellenir. Bu şekilde sadece 255 iterasyon ile lineer olmama değeri 102.25 'den 107.5 'e kadar arttırılmıştır. Bir diğer s-box 'da ise lineer olmama değeri 103.75 'den 107.25 'e çıkmıştır.

A New Approach to Generation Strong S-box Structures

Keywords

S-box
Nonlinearity,
Symmetric encryption
Chaotic map

Abstract: The s-box is vital for cryptographic structures. Because it fulfills the requirement we call confusion in a symmetric encryption algorithm. Therefore, the performance of the symmetric encryption algorithm to be developed will depend significantly on the s-box structure. An s-box structure should not be as linear as possible. In other words, the most important criterion for an s-box structure is its high nonlinearity value. The higher the nonlinearity value, the more complex the algorithm will be to break. Chaotic methods are generally used to obtain an s-box. However, the nonlinearity value of the s-box structures obtained this way is low. In this study, a method that rapidly increases the nonlinearity value of s-box structures produced in this way is proposed. In this method, the first value in a randomly generated s-box structure is replaced with all other elements, respectively. In this way, if the nonlinearity of the s-box structure increases or remains equal, the s-box is updated. In this way, the nonlinearity value was increased from 102.25 to 107.5 with only 255 iterations. In another s-box, the nonlinearity value increased from 103.75 to 107.25.

*İlgili Yazar, email: firatartuger@munzur.edu.tr

1. Giriş

Bilimin hızlı bir şekilde gelişmesiyle birlikte birçok gereksinim ortaya çıkmaktadır. Bu gereksinimlerden bir tanesi verileri gizliliğinin sağlanmasıdır. Özellikle kablosuz ağlar üzerinden verilerin güvenli bir şekilde iletilmesi önemli bir gereksinimdir. Günümüzde verilerin gizliliği genellikle kriptografik yapılar ile sağlanmaktadır [1]. Özellikle verinin gizliliği söz konusu olduğunda şifreleme algoritmaları karşımıza çıkmaktadır. Yani özetle; verilerin gizliliğini sağlamak için günümüzde şifreleme algoritmaları kullanılmaktadır. Bu yapılar temel olarak iki mimariye sahiptirler. Bunlardan bir tanesi asimetrik şifrelemedir. Bu şifreleme mimarileri genellikle verinin gizliliğinden

ziyade anahtar değişimi sürecinde kullanılmaktadır. Çünkü bu algoritmalarda mantık, büyük asal sayıları çarpımına dayanmaktadır. Verinin boyutu arttıkça gizlilik için uygulanması imkânsız hale gelmektedir. Ancak bunlar çok güvenli algoritmalarıdır. Bu yüzden hibrit sistemlerde anahtar değişimini sorunsuz bir şekilde yerine getirebilmektedirler. Bir diğer şifreleme mimarisi simetrik şifreleme yapılarıdır. Bu yapılar verinin şifrenmesi için kullanılmaktadır. Bu algoritmalar genellikle hızlı ve çoğu zaman güvenlidirler. Bu mimari de yine kendi içinde iki bölüme ayrılmaktadır. Bunlar akış ve blok şifreleme yapılarıdır. Akış şifreleme de bitler tek tek şifrelenir. Bu algoritmalar mantığı gereği oldukça hızlı ve güvenli yapılardır. Ancak daha az verinin olduğu alanlarda etkili bir şekilde çalışabilirler. Verinin uzunluğu arttıkça bu mimariyi uygulamak zor hale gelecektir. Bu yüzden bu algoritmalar daha hafif uygulamalar için kullanılmaktadırlar. Diğer simetrik şifreleme yapısı blok şifrelemedir. Günümüzde verinin şifrenmesi için en çok bu algoritmalar kullanılmaktadır. Bu algoritmaların temel yapısı veriyi eşit uzunluktaki bloklara ayırmaktır. Bu şekilde veri ne kadar büyük olursa olsun eşit bloklara ayrılır ve bu şekilde her bir blok kendi içinde şifrelenir. Daha sonra bütün bloklar bir araya getirilerek şifreli veri elde edilir. Bu mimari, verinin aynı zamanda hem güvenli hem de hızlı bir şekilde şifrenmesini sağlamaktadır. Günümüz simetrik blok şifreleme standardı AES [2] algoritmasıdır. Bunun yanında en çok DES [3] algoritması kullanılmaktadır. AES algoritması farklı anahtar uzunluklarına sahip esnek ve oldukça güvenilir bir algoritmadır. Bir blok şifreleme algoritmasında güvenliğin sağlanabilmesi için temelde iki gereksinimin sağlanması istenir. Bunlar difüzyon ve konfüzyon olarak adlandırılır. Difüzyon özelliğinde verilerin etkili bir şekilde yayılması amaçlanmaktadır. Bu özellik bir nevi permütasyon sürecidir. Diğer ise en önemli gereksinimlerden biri olan konfüzyon özelliği, veriyi etkili bir şekilde karıştırmayı amaçlamaktadır. Veri ne kadar etkili bir şekilde karıştırılırsa saldırganlar tarafından şifrenin çözülmesi o kadar zor olacaktır. Bu yüzden karıştırma sürecinde bu işlemin lineer olmayan bir yapıyla yapılması gerekir. Aksi takdirde bu yapı lineer olursa saldırganlar tarafından çıkarım yapılması kolaylaşacaktır [4]. Blok şifreleme algoritmalarında bu lineer olmayan yapı s-box yapısıdır. Yani algoritmadaki konfüzyon adımı genellikle lineer olmayan bir s-box yapısı ile gerçekleştirilir. S-box temel olarak bir tablodan oluşmaktadır. Veriyi bir formdan alır başka bir forma çevirir. Yani s-box tablosundaki değerlere göre veride bir değer yerine başka bir değer yazılır [5]. Bu özelliklere bakıldığında; bir blok şifreleme algoritması tasarlanmak istenildiğinde güçlü bir s-box olmazsa olmaz yapılardan biri olarak karşımıza çıkmaktadır. Güçlü, yani yüksek lineer olmama değerine sahip bir s-box üretmek aslında bir optimizasyon problemidir. Çünkü AES benzeri bir s-box yapısı 256 değer içermektedir. Bu da güçlü bir s-box elde etmek için 256! durumun olduğunu ifade eder. Bu problemin belirli bir birim zamanda çözülmesi imkansızdır. Yani bu bir NP problemidir. Bu yüzden bu problem, geçmişten günümüze kadar araştırmacıların üzerinde çalıştığı sıcak bir konu olarak gelmiştir. Buda çalışmanın en önemli motivasyonlarından bir tanesidir. Bu problemin çözümü için literatürde onlarca yöntem önerilmiş olup çalışmalar devam etmektedir. Çünkü en iyi sonuçlar elde edilememektedir. Bazı çalışmalar optimum sonuçlara ulaşmış olsa da bu yapıların elde edilme şeklinde çeşitli zayıflıklar olabilmektedir. Güçlü bir s-box geliştirmek için günümüze kadar kaos, optimizasyon yöntemleri ve matematiksel dönüşümler en çok kullanılan yaklaşımların başında gelmektedir.

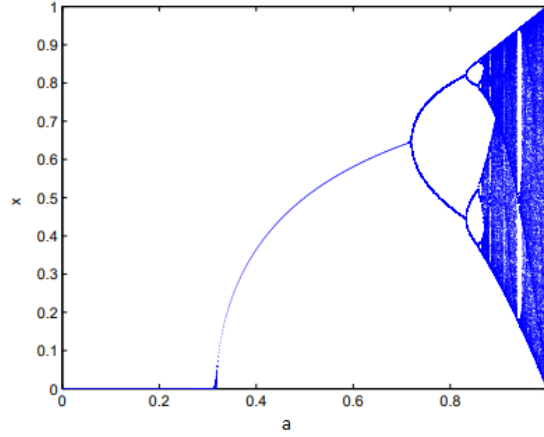
Sadece kaos kullanarak geliştirilen yöntemler genellikle düşük lineer olmama değerlerine sahip s-box yapılarıdır. Bu nokta çalışmanın bir diğer motivasyon kaynağıdır. Bu yapıları hızlı bir şekilde iyileştiren yöntemlerin geliştirilmesi araştırmacıların her zaman ilgisini çekmiştir. Bu şekilde elde edilen s-box yapılarında genellikle bir kaotik harita kullanılmaktadır. Kaotik haritanın parametrelerine göre bir değer elde edilir ve s-box tablosunda bu değer yoksa tabloya eklenir. Bu şekilde bir s-box elde etmek oldukça kolay ve hızlı olacaktır. Ancak lineer olmama değerlerinin düşük olması büyük bir dezavantaj oluşturmaktadır. Günümüze kadar kaos ile elde edilen s-box yapılarında kesirli sıralı kaotik Chen sistemi [6], kaotik kısmi diferansiyel denklem [7], lojistik harita [8], yeni bir ayrık zamanlı kaotik harita [9], tek boyutlu ayrık bir kaotik harita [10], baker harita [11], çadır harita [12], kaotik Lorenz sistemi [13], kaotik labirent rene Thomas sistemi [14], kesirli Lorenz-Duffing sistemi [15], kaotik ölçekli Zhongtang sistemi [16], kaotik sinüs harita [17] ve daha birçok farklı kaotik harita kullanılmıştır.

Bir diğer çok kullanılan yaklaşım optimizasyondur. Optimizasyon yöntemleri özellikle çözülmesi zor problemlerin çözümünde uzun yıllardır kullanılmaktadır. S-box üretme problemi içinde kullanımları oldukça uygundur. Bu yöntemlerde hesaplama maliyetleri genellikle yüksek olsa da lineer olmama değerleri yüksek s-box yapıları elde edilmektedir. Bu yöntemlerin bir diğer avantajı ise gün geçtikçe yeni optimizasyon algoritmalarının tasarlanmasıdır. Bu yeni algoritmalar da kullanılarak güçlü s-box yapıları elde edilebilir. Özellikle son yıllarda s-box üretme probleminde parçacık sürüsü optimizasyonu [18], bakteriyel yiyecek arama optimizasyonu [19], genetik algoritma [20, 21], tavlama algoritması [22], öğretim-öğrenme optimizasyonu [23], ateş böceği optimizasyonu [24], karınca kolonisi optimizasyonu [25], çıplak köstebek faresi algoritması [26], gri kurt optimizasyonu [27] ve daha birçok optimizasyon algoritması kullanılmıştır. Bir diğer yaklaşım olan matematiksel dönüşümler ile farklı s-box yapıları elde edilmektedir. Bu yaklaşım ile genellikle güçlü s-box yapıları üretilmektedir. Ancak bu s-box yapıları çeşitli durumlarda uygulama saldırılarına karşı çeşitli zayıflıklar göstermektedir [28]. Bunun yanı sıra karmaşık matematiksel denklemlere dayandıkları için hesaplama maliyetleri yüksektir. Bu yaklaşımla son yıllarda mobius grubu ve sonlu alan ile [29], dönme matrisleri ile [30], modüler bir grup eylemi ile [31], simetrik bir grup ile [32], boole fonksiyonları ile [33, 34] ve daha birçok dönüşüm yardımıyla güçlü s-box yapıları elde edilmiştir.

Bu çalışmada bu yöntemlerden farklı olarak hızlı, basit ama etkili bir yöntem önerilmiştir. Önerilen yöntemde herhangi bir şekilde elde edilen bir s-box yapısında ilk eleman sırasıyla diğer elemanlarla yer değiştirilir. Yer değiştirme sonrasında lineer olmama değeri artar veya eşit kalırsa s-box güncellenmektedir. Bu şekilde sadece 256 yineleme sonucunda etkili sonuçların elde edilebileceği yapılan analizler sonucunda gösterilmiştir. Esasen önerilen yöntem yukarıda bahsedilen tüm mantıklarla elde edilen s-box yapılarını da iyileştirebilecek bir yapıya sahiptir. Bu çalışma, özellikle kaos tabanlı s-box yapılarının iyileştirilmesi için düşünülmüştür. Ancak diğer felsefelerle üretilen s-box yapılarına da kolaylıkla uygulanabilir. Çalışmanın geri kalan kısmında ikinci bölümde önerilen yaklaşım sözde kodu ile verilmiştir. Üçüncü bölümde analiz sonuçları değerlendirilmiş olup diğer yöntemlerle performans karşılaştırması yapılmıştır. Dördüncü bölümde ise sonuçlar tartışılmıştır.

2. Önerilen Yöntem

Önerilen yaklaşımda öncelikle kaotik bir harita kullanılarak lineer olmama değeri düşük bir s-box elde edilir. Bu çalışmada kaotik sinüs harita ile başlangıç parametreleri ayarlanarak s-box yapıları elde edilmiştir. Kaotik sinüs haritasının matematiksel modeli denklem 1 'de verilmiştir. Ayrıca sinüs haritasının çatallanma diyagramı şekil 1 'de gösterilmiştir. Çatallanma diyagramı sayesinde sistemin kaotikliği, kararlılığı vb. davranışsal özellikleri hakkında yorum yapılabilir. Kullanılan sinüs haritanın verilen parametrelerle kaotik davranış gösterdiği görülmektedir.



Şekil 1. Sinüs haritasının çatallanma diyagramı

$$x_{n+1} = a \sin(\pi x_n), \quad x_n \in [0,1], \quad a \in [0.85,1] \quad (1)$$

Denklem 1 'de verildiği gibi kaotik bir harita kullanılarak aşağıdaki adımlara göre kolaylıkla bir s-box elde edilebilir.

Adım 1. Kaotik haritanın başlangıç parametreleri girilir.

Adım 2. Bu başlangıç değerlerine göre rastgele bir sayı (x_{n+1}) üretilir.

Adım 3. Üretilen bu değer 3 veya daha fazla basamaklı bir tamsayıya dönüşmesi için 1000000 ile çarpılır.

Adım 4. Bu değer 0 ile 256 arasındaki bir değere dönüşmesi için mod256 işlemi uygulanır.

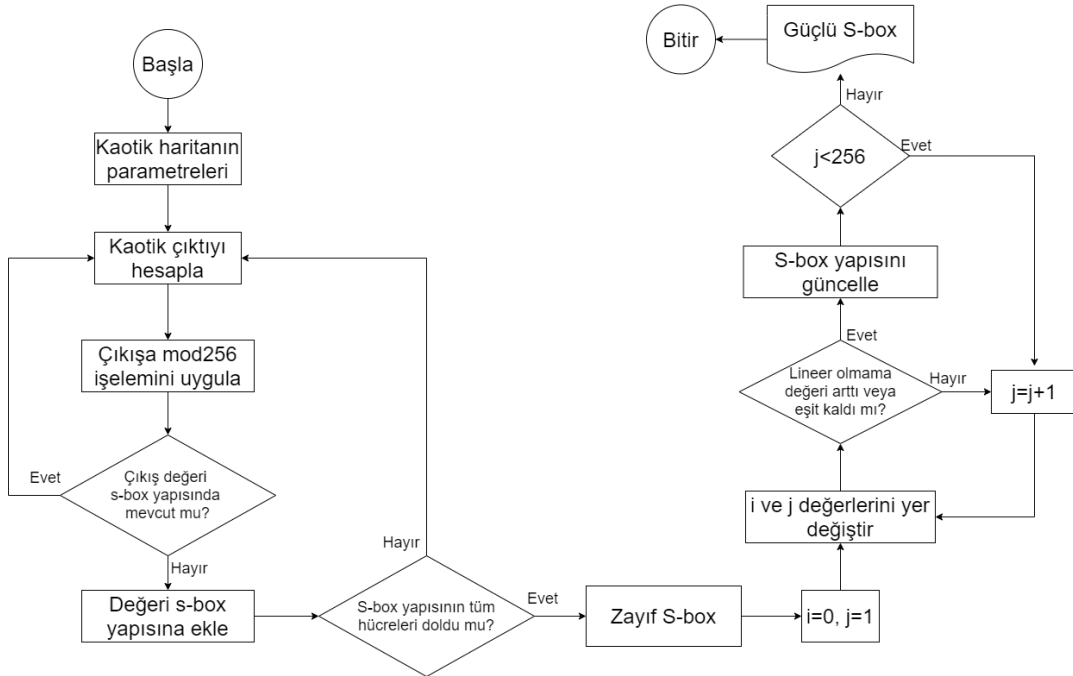
Adım 5. Elde edilen bu değer, s-box yapısında yoksa eklenir, varsa yeni bir değer üretilir. Bu şekilde s-box dolana kadar bu adımlar devam eder.

Yukarıdaki adımlar ile elde edilen s-box yapılarında lineer olmama değeri neredeyse her zaman düşük kalmaktadır. Bunun için bu s-box yapılarının sadece ilk değerini diğer değerlerle karşılaştırılıp lineer olmama değerini kontrol edilmektedir. Bu değer arttığında ya da eşit kaldığında s-box yapısını güncellenir. Bu sayede lineer olmama değeri hızlı bir şekilde artırılmış olur. Ayrıca önerilen yöntem Python programlama dili ile uygulanmıştır. Ancak, kullanıcıların tercihine göre diğer dillerde de kolayca uygulanabilecek bir yapıya sahiptir. Önerilen yöntemin araştırmacılar için daha iyi anlaşılması ve uygulanabilmesi için sözde kodu tablo 1 'de, akış diyagramı ise şekil 2 'de verilmiştir.

Tablo 1. Önerilen algoritmanın akış sözde kodu

1.	Başla
2.	SboxUretme ()
3.	KaotikSbox= []
4.	YeniSbox = []
5.	EskiLineerOlmama= KaotikSbox yapısının lineer olmama değeri
6.	for(int i=1; i<256; i++)
7.	YerDeğiştir (KaotikSbox[0], KaotikSbox[i])
8.	YeniLineerOlmama =YeniSbox yapısının lineer olmama değeri
9.	if (YeniLineerOlmama >= EskiLineerOlmama)
10.	Sbox yapısını güncelle
11.	end if
12.	else
13.	KaotikSbox = YeniSbox
14.	end else
15.	end for
16.	Bitir

Tablo 1 'de gösterildiği gibi önerilen algoritma oldukça basit ve uygulanabilir bir yapıdadır. Satır 6 'da görüldüğü üzere sadece 256 iterasyon ile etkili sonuçlar alınabilmektedir.



Şekil 2. Önerilen algoritmanın akış diyagramı

3. Analiz Sonuçları

Önerilen yöntem ile iki farklı s-box yapısı iyileştirilmiştir. Bu sayede algoritmanın başarımı daha iyi değerlendirilebilir. Başlangıçta kaotik sinüs harita ile elde edilen güçsüz s- box yapıları sırasıyla tablo 2 ve tablo 3 'de verilmiştir. Bu s-box yapılarının önerilen algoritma ile iyileştirildikten sonraki halleri ise tablo 4 ve tablo 5 'de verilmiştir. Elde edilen s-box yapılarında önerilen algoritma neredeyse aynı başarıyı sergilemiştir. Önerilen bu s-box yapılarını test etmek için literatürde en çok kullanılan metrikler kullanılmıştır. Bunların ilki lineer olmama metriğidir. Bu metrik aynı zamanda uygunluk değeri olarak kullanılmıştır. Çünkü s-box yapıları lineer olmayan yapılardır ve en önemli özellikleri budur [35]. Bu yüzden bu değerin yüksek olması, algoritmanın performansını önemli ölçüde etkileyecektir. Önerilen s-box yapılarında lineer olmama değerleri sırasıyla 107.25, 107.5 olarak hesaplanmıştır. Bu değerler yüksek olarak kabul edilebilir. Bu sayede önerilen s-box yapıları lineer olmama özelliğini sağlamaktadır. Ayrıca bu değerler literatürdeki çoğu çalışmayı geride bırakmaktadır. Bir diğer önemli s-box değerlendirme kriteri SAC değeridir. Bu değer giriş bitlerinde yapılan bir değişikliğe göre çıkıştaki bitlerin değişimini hesaplamaktadır [36]. Şöyle ki; bir şifreleme algoritmasında girişteki bir bitte değişiklik yapıldığında çıkıştaki bitlerin yarısına yakınının değişmesi istenmektedir. Bu durum, saldırganların bir çıkarımda bulunmalarını engellemektedir. Bu yüzden SAC değerinin 0.5 değerine yakın bir değerde olması istenir. Önerilen s-box yapılarının ikisinde de bu değer 0.5 değerine oldukça yakındır. Yani önerilen s-box yapıları bu metriği de

sağlamaktadır. Bir diğer değerlendirme metriği BIC değeridir. Bu değerde yine literatürde sıklıkla kullanılmaktadır. Bu değer bitlerin birbirinden bağımsız olması gerektiğini ifade eder [36]. Yani bir bitte yapılacak olan değişikliklerle diğer bitler hakkında çıkarım yapılamamalı. Bu metrikte hem lineer olmama değeri hem de SAC değeri hesaplanmaktadır. Lineer olmama değerinin yüksek, SAC değerinin ise yine 0.5 'e yakın bir değer olması beklenmektedir. Önerilen s-box yapıları bu metriği de sağlamaktadır. Bir diğer değerlendirme kriteri s-box yapısının XOR değerlerinin hesaplanmasıdır. Bu metrik, bir s-box yapısının giriş ve çıkış değerlerinde olasılık dağılımlarına izin verilmemesini sağlar [37]. Bu değer tüm s-box yapısı için düşük değerlerde olması istenir. Önerilen s-box yapıları bu metriği de sağlamaktadır. Bir diğer istenilen metrik ise s-box yapısının bijektif olmasıdır. Yani her bir değer sadece bir kez kullanılması gerekmektedir. 8 bit bir s-box yapısında 256 değer olduğundan 0 ile 256 arasındaki sayılarla s-box elde edilir. Önerilen s-box yapılarında değerler sadece bir kere kullanıldığı için ikisi de bijektiftir.

Tablo 2. Kaotik s-box-1

	0	1	2	3	4	5	6	7	8	9	10	11	12	13	14	15
0	77	103	131	166	7	2	72	224	189	205	146	201	11	226	229	137
1	49	108	55	23	44	215	71	178	27	51	247	231	192	62	79	81
2	12	39	87	36	246	194	183	249	179	40	206	107	78	115	74	151
3	126	147	176	119	210	145	22	156	207	58	216	244	85	248	48	91
4	195	177	218	153	168	118	237	184	110	106	227	95	14	123	19	171
5	1	211	80	174	221	188	10	243	52	223	28	57	225	24	208	193
6	31	3	54	135	50	160	30	234	149	136	66	245	88	157	220	198
7	84	75	114	18	41	29	89	64	180	213	134	46	42	59	139	144
8	228	8	170	21	187	25	242	15	43	34	132	130	197	56	37	169
9	33	20	122	113	45	233	159	73	230	235	186	217	117	254	140	185
10	150	199	253	32	148	212	182	120	94	109	68	112	111	209	232	13
11	83	96	164	0	214	204	98	60	155	92	93	97	238	138	101	99
12	240	4	86	67	236	125	252	142	121	181	105	175	241	17	219	124
13	143	26	128	104	16	163	239	38	165	35	255	9	222	47	167	129
14	133	100	90	158	5	203	250	162	116	53	61	69	173	251	6	127
15	196	152	82	154	161	63	70	65	141	102	172	191	200	190	76	202

Tablo 3. Kaotik s-box-2

	0	1	2	3	4	5	6	7	8	9	10	11	12	13	14	15
0	42	166	55	209	78	85	0	10	90	218	245	238	149	174	71	138
1	185	196	131	128	144	86	151	254	99	11	165	5	216	27	222	30
2	80	214	26	251	112	162	163	73	192	75	126	141	108	100	205	199
3	197	187	190	65	211	206	109	188	118	179	84	28	83	31	61	239
4	175	169	247	232	137	70	12	142	94	213	176	224	34	135	202	125
5	77	156	50	91	40	180	170	114	250	29	14	79	226	88	201	204
6	219	189	203	132	96	133	53	117	121	9	116	207	184	95	51	172
7	244	155	153	37	243	158	233	236	47	111	74	147	235	8	237	255
8	241	58	60	102	39	46	249	139	38	186	32	227	101	193	44	97
9	93	120	154	106	215	33	23	25	2	43	161	105	92	89	210	167
10	123	150	13	178	64	68	62	200	67	145	191	57	231	164	36	115
11	59	3	148	159	217	157	54	129	181	229	82	225	18	87	81	124
12	152	21	253	35	240	119	19	208	242	195	15	177	110	140	107	182
13	103	16	6	22	220	1	66	194	17	234	143	98	48	252	221	212
14	183	248	146	76	52	49	136	69	198	7	228	63	72	171	246	173
15	134	41	230	160	223	127	104	168	45	20	130	24	113	56	4	122

Tablo 4. Kaotik s-box-1 yapısının iyileştirilmiş hali

	0	1	2	3	4	5	6	7	8	9	10	11	12	13	14	15
--	---	---	---	---	---	---	---	---	---	---	----	----	----	----	----	----

0	120	77	131	166	103	2	72	224	7	189	146	205	11	226	229	201
1	137	108	55	23	44	215	71	178	49	27	51	231	192	62	79	81
2	12	39	87	36	246	247	194	249	183	179	206	107	40	78	115	74
3	126	151	147	119	210	176	22	145	207	58	156	244	85	216	248	91
4	48	195	218	177	153	118	237	168	110	106	227	95	184	123	19	14
5	1	171	211	80	174	221	10	243	52	188	223	57	225	28	208	193
6	31	3	54	135	50	160	30	234	149	24	66	245	136	88	157	198
7	220	75	114	18	41	84	29	89	180	64	213	134	46	42	139	59
8	228	8	170	21	144	187	242	15	43	34	132	130	197	56	37	169
9	33	25	122	20	45	233	159	73	230	235	186	113	117	254	140	217
10	185	199	253	150	148	212	182	32	94	109	68	112	111	209	232	13
11	83	96	164	0	214	204	98	60	155	92	93	97	238	138	101	99
12	240	4	86	67	236	125	252	142	121	181	105	175	241	17	219	124
13	143	26	128	104	16	163	239	38	165	35	255	9	222	47	167	129
14	133	100	90	158	5	203	250	162	116	53	61	69	173	251	6	127
15	196	152	82	154	161	63	70	65	141	102	172	191	200	190	76	202

Tablo 5. Kaotik s-box-2 yapısının iyileştirilmiş hali

	0	1	2	3	4	5	6	7	8	9	10	11	12	13	14	15
0	191	42	55	209	166	85	0	78	10	90	218	245	149	238	71	138
1	185	196	131	128	174	144	151	86	99	254	11	5	165	27	222	30
2	80	214	26	251	216	112	162	163	192	75	126	73	108	100	141	205
3	199	187	190	197	65	211	206	188	118	109	84	28	83	31	179	239
4	61	175	247	232	169	70	12	142	94	213	176	224	34	137	202	125
5	77	156	50	91	135	40	170	114	250	29	180	79	14	88	201	204
6	226	219	189	203	96	133	53	117	121	9	116	132	184	95	51	172
7	207	155	153	244	243	37	158	233	47	111	236	147	235	8	237	74
8	241	255	58	102	60	46	249	139	39	186	32	227	101	193	44	97
9	93	120	154	106	215	33	23	25	2	38	161	105	92	89	210	43
10	123	150	13	178	64	68	62	200	67	145	167	57	231	164	36	115
11	59	3	148	159	217	157	54	129	181	229	82	225	18	87	81	124
12	152	21	253	35	240	119	19	208	242	195	15	177	110	140	107	182
13	103	16	6	22	220	1	66	194	17	234	143	98	48	252	221	212
14	183	248	146	76	52	49	136	69	198	7	228	63	72	171	246	173
15	134	41	230	160	223	127	104	168	45	20	130	24	113	56	4	122

Başlangıçta kaotik sinüs harita ile elde edilen zayıf s-box yapıları ve bu yapıların önerilen algoritma ile iyileştirildikten sonraki performans değerleri tablo 6 'da verilmiştir. Bu tablo incelendiğinde s-box-1 yapısının lineer olmama değerinin 103.75 'den 107.25 'e, s-box-2 yapısının lineer olmama değerinin ise 102.25 'den 107.5 'e yükseldiği görülmektedir. Bu değerlere sadece 255 yineleme ile hızlı bir şekilde ulaşılmıştır.

Tablo 6. Giriş olarak alınan ve iyileştirildikten sonraki s-box yapılarının performans değerleri

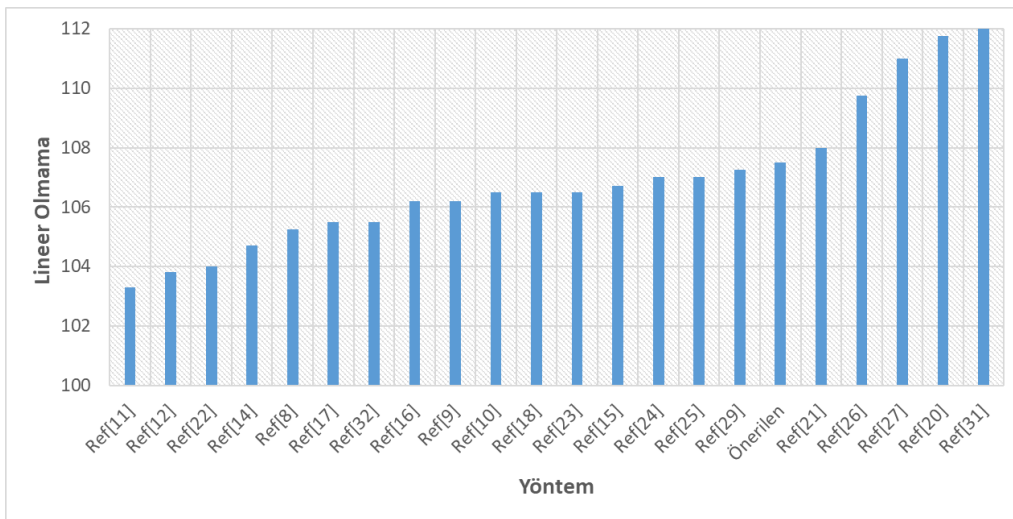
S-BOX	Lineer Olmama			SAC	BIC		En Yüksek XOR
	ort	min	max	ort	SAC	Lineer Olmama	
S-box-1	103.75	100	106	0.5081	0.4954	103.5	10
S-box-2	102.25	98	106	0.5022	0.4996	103.5	10
İyileştirilmiş S-box-1	107.25	106	110	0.5078	0.4954	103.14	10
İyileştirilmiş S-box-2	107.5	104	110	0.5073	0.5048	103.43	12

Önerilen s-box yapıları literatürdeki birçok s-box ile karşılaştırılmış olup karşılaştırma sonuçları tablo 7 'de verilmiştir. Bu tablodan da anlaşılacağı gibi önerilen yöntem literatürdeki birçok yöntemi geride bırakmıştır. Ancak özellikle optimizasyon ve matematiksel dönüşüm tabanlı yöntemlerin gerisinde kalmıştır. Bunun temel sebebi, önerilen yöntemin bu yöntemlere göre çok daha hızlı bir sonuç elde etmesidir. Ayrıca önerilen yöntemin karmaşıklığı diğer algoritmalarla karşılaştırıldığında oldukça düşüktür. Bu da algoritmanın bir diğer avantajı olarak kabul edilebilir.

Tablo 7. Önerilen yöntemin diğer yöntemlerle performans karşılaştırması

S-BOX	Ortalama Lineer Olmama	BIC		SAC	En Yüksek XOR
		SAC	Lineer Olmama		
Ref[11]	103.3	0.4995	103.3	0.4987	10
Ref[12]	103.8	0.4958	102.6	0.5058	14
Ref[22]	104	0.4971	103.2	0.4980	10
Ref[14]	104.7	0.4972	103.3	0.5034	10
Ref[8]	105.25	0.4994	102.6	0.5037	10
Ref[17]	105.5	0.4988	104.3	0.5010	12
Ref[32]	105.5	0.4994	105.7	0.4926	32
Ref[16]	106.2	0.5023	102.3	0.5039	10
Ref[9]	106.2	0.5288	100	0.501	10
Ref[10]	106.5	0.5003	104.2	0.4978	10
Ref[18]	106.5	0.4995	105.85	0.5036	10
Ref[23]	106.5	0.4984	105.2	0.5120	10
Ref[15]	106.7	0.504	103.5	0.4976	10
Ref[24]	107	0.4974	104.6	0.496	10
Ref[25]	107	0.5010	105.5	0.5015	10
Ref[29]	107.25	-	107	0.501	6
Önerilen	107.5	0.5048	103.43	0.5073	12
Ref[21]	108	-	-	-	-
Ref[26]	109.75	0.5041	104.14	0.4998	10
Ref[27]	111	0.4994	113.35	0.5	-
Ref[20]	111.75	0.5033	104	0.4968	12
Ref[31]	112	-	112	0.4951	-

Performans sonuçlarının daha iyi değerlendirilebilmesi için lineer olmama değerlerinin karşılaştırıldığı grafik şekil 3 'de verilmiştir.



Şekil 3. Performans karşılaştırma grafiği

4. Sonuçlar

Geçmişten günümüze güçlü s-box yapıları elde etmek oldukça zor bir problem olarak gelmiştir. Bu problemi çözmek için kaos, matematiksel dönüşümler ve optimizasyon algoritmaları başta olmak üzere pek çok yöntem

geliştirilmiştir. Ancak halen optimum çözümler elde edilememiştir. Çünkü tüm bu yöntemlerin avantaj ve dezavantajları vardır. Bu çalışmada bu problemin çözümü için yeni bir yöntem önerilmiştir. Önerilen yöntemde öncelikle kaotik bir harita yardımıyla zayıf bir s-box elde edilmektedir. Daha sonra bu s-box yapısında ilk eleman diğer 255 elemanla sırasıyla yer değiştirilerek lineer olmama değeri kontrol edilir. Bu değer artar ya da eşit kalırsa s-box güncellenir. Bu şekilde sadece 255 iterasyon sonunda lineer olmama değeri önemli ölçüde arttırılabilmektedir. Bu çalışmada bu felsefe ile iki farklı s-box üretilmiştir. Bu s-box yapıları 107.25 ve 107.5 lineer olmama değerleri ile literatürdeki birçok çalışmayı geride bırakmıştır. Bu sonuçların özellikle gelecekte inşa edilecek olan simetrik şifreleme algoritmaları için faydalı olacağı düşünülmektedir. Önerilen yöntemin hızlı ve basit olmasının yanı sıra en önemli avantajlarından bir tanesi ise; diğer yöntemler ile elde edilen nispeten zayıf s-box yapılarının tamamını iyileştirebilecek etkinlikte olmasıdır. Bu algoritmanın lineer olmama değerini belli bir seviyeye kadar arttırabilmesi bir dezavantaj olarak görülebilir. Ancak kullanıcılar daha fazla elemanın yerini değiştirip daha yüksek lineer olmama değerlerine ulaşabilirler.

Çıkar Çatışması Beyanı

Makale yazarları herhangi bir kurum, kuruluş, kişi ile kişisel ve finansal çıkar çatışması olmadığını beyan etmektedirler.

Kaynakça

- [1] Van Oorschot, P. C., Menezes, A. J., & Vanstone, S. A. (1996). Handbook of applied cryptography. CRC press.
- [2] J. Daemen and V. Rijmen, "AES proposal: Rijndael," in Proc. 1st Adv. Encryption Conf., CA, USA, 1998, pp. 1-45.
- [3] Standard, D. E. (1999). Data encryption standard. Federal Information Processing Standards Publication, 112.
- [4] Artuğer, F., & Özkaynak, F. (2020). A novel method for performance improvement of chaos-based substitution boxes. *Symmetry*, 12(4), 571.
- [5] Artuğer, F., & Özkaynak, F. (2022). A method for generation of substitution box based on random selection. *Egyptian Informatics Journal*, 23(1), 127-135.
- [6] Özkaynak, F., Çelik, V., & Özer, A. B. (2017). A new S-box construction method based on the fractional-order chaotic Chen system. *Signal, Image and Video Processing*, 11(4), 659-664.
- [7] Khan, M., Shah, T., & Gondal, M. A. (2013). An efficient technique for the construction of substitution box with chaotic partial differential equation. *Nonlinear Dynamics*, 73(3), 1795-1801.
- [8] Özkaynak, F. (2020). On the effect of chaotic system in performance characteristics of chaos based s-box designs. *Physica A: Statistical Mechanics and its Applications*, 550, 124072.
- [9] Lambić, D. (2020). A new discrete-space chaotic map based on the multiplication of integer numbers and its application in S-box design. *Nonlinear Dynamics*, 100(1), 699-711.
- [10] Lambić, D. (2018). S-box design method based on improved one-dimensional discrete chaotic map. *Journal of Information and Telecommunication*, 2(2), 181-191.
- [11] Tang, G., Liao, X., & Chen, Y. (2005). A novel method for designing S-boxes based on chaotic maps. *Chaos, Solitons & Fractals*, 23(2), 413-419.
- [12] Tang, G., & Liao, X. (2005). A method for designing dynamical S-boxes based on discretized chaotic map. *Chaos, solitons & fractals*, 23(5), 1901-1909.
- [13] Khan, M., Shah, T., Mahmood, H., Gondal, M. A., & Hussain, I. (2012). A novel technique for the construction of strong S-boxes based on chaotic Lorenz systems. *Nonlinear Dynamics*, 70(3), 2303-2311.
- [14] Özkaynak, F. (2020). An analysis and generation toolbox for chaotic substitution boxes: A case study based on chaotic labyrinth rene thomas system. *Iranian Journal of Science and Technology, Transactions of Electrical Engineering*, 44(1), 89-98.
- [15] Ye, T., & Zhimao, L. (2018). Chaotic S-box: Six-dimensional fractional Lorenz-Duffing chaotic system and O-shaped path scrambling. *Nonlinear Dynamics*, 94(3), 2115-2126.
- [16] Çavuşoğlu, Ü., Zengin, A., Pehlivan, I., & Kaçar, S. (2017). A novel approach for strong S-Box generation algorithm design based on chaotic scaled Zhongtang system. *Nonlinear dynamics*, 87(2), 1081-1094.
- [17] Belazi, A., & Abd El-Latif, A. A. (2017). A simple yet efficient S-box method based on chaotic sine map. *Optik*, 130, 1438-1444.
- [18] Hematpour, N., & Ahadpour, S. (2021). Execution examination of chaotic S-box dependent on improved PSO algorithm. *Neural Computing and Applications*, 33(10), 5111-5133.
- [19] Tian, Y., & Lu, Z. (2017). Chaotic S-box: Intertwining logistic map and bacterial foraging optimization. *Mathematical Problems in Engineering*, 2017.

- [20] Artuğer, F., & Özkaynak, F. (2022). SBOX-CGA: substitution box generator based on chaos and genetic algorithm. *Neural Computing and Applications*, 34(22), 20203-20211.
- [21] Kang, M., & Wang, M. (2022). New Genetic Operators for Developing S-Boxes With Low Boomerang Uniformity. *IEEE Access*, 10, 10898-10906.
- [22] Chen, G. (2008). A novel heuristic method for obtaining S-boxes. *Chaos, Solitons & Fractals*, 36(4), 1028-1036.
- [23] Farah, T., Rhouma, R., & Belghith, S. (2017). A novel method for designing S-box based on chaotic map and teaching-learning-based optimization. *Nonlinear dynamics*, 88(2), 1059-1074.
- [24] Alhadawi, H. S., Lambić, D., Zolkipli, M. F., & Ahmad, M. (2020). Globalized firefly algorithm and chaos for designing substitution box. *Journal of Information Security and Applications*, 55, 102671.
- [25] Ahmad, M., Bhatia, D., & Hassan, Y. (2015). A novel ant colony optimization based scheme for substitution box design. *Procedia Computer Science*, 57, 572-580.
- [26] Zamli, K. Z., Din, F., & Alhadawi, H. S. (2023). Exploring a Q-learning-based chaotic naked mole rat algorithm for S-box construction and optimization. *Neural Computing and Applications*, 1-23.
- [27] Khan, H., Hazzazi, M. M., Jamal, S. S., Hussain, I., & Khan, M. (2023). New color image encryption technique based on three-dimensional logistic map and Grey wolf optimization based generated substitution boxes. *Multimedia Tools and Applications*, 82(5), 6943-6964.
- [28] Örs, S. B., Preneel, B., & Verbauwhede, I. (2007). Side-channel analysis attacks on hardware implementations of cryptographic algorithms. *Wireless Security and Cryptography-Specifications and Implementations*, 213-247.
- [29] Arshad, B., Siddiqui, N., Hussain, Z., & Ehatisham-ul-Haq, M. (2022). A Novel Scheme for Designing Secure Substitution Boxes (S-Boxes) Based on Mobius Group and Finite Field. *Wireless Personal Communications*, 1-22.
- [30] Malik, M. S. M., Ali, M. A., Khan, M. A., Ehatisham-Ul-Haq, M., Shah, S. N. M., Rehman, M., & Ahmad, W. (2020). Generation of highly nonlinear and dynamic AES substitution-boxes (S-boxes) using chaos-based rotational matrices. *IEEE Access*, 8, 35682-35695.
- [31] Siddiqui, N., Yousaf, F., Murtaza, F., Ehatisham-ul-Haq, M., Ashraf, M. U., Alghamdi, A. M., & Alfakeeh, A. S. (2020). A highly nonlinear substitution-box (S-box) design using action of modular group on a projective line over a finite field. *Plos one*, 15(11), e0241890.
- [32] Khan, M., & Shah, T. (2014). A novel image encryption technique based on Hénon chaotic map and S8 symmetric group. *Neural Computing and Applications*, 25(7), 1717-1722.
- [33] Bakunina, E. V., & Dykyi, O. V. (2022). Synthesis method for S-boxes satisfying the criterion of correlation immunity of Boolean and 4-functions. *Journal of Discrete Mathematical Sciences and Cryptography*, 1-13.
- [34] Sokolov, A. V., & Radush, V. V. (2022). A method for synthesis of S-boxes with good avalanche characteristics of component Boolean and quaternary functions. *Journal of Discrete Mathematical Sciences and Cryptography*, 1-12.
- [35] Artuğer, F., & Özkaynak, F. (2021). An effective method to improve linear olmama value of substitution boxes based on random selection. *Information Sciences*, 576, 577-588.
- [36] Webster, A. F., & Tavares, S. E. (1985, August). On the design of S-boxes. In *Conference on the theory and application of cryptographic techniques* (pp. 523-534). Springer, Berlin, Heidelberg.
- [37] Biham, E., & Shamir, A. (1991). Differential cryptanalysis of DES-like cryptosystems. *Journal of CRYPTOLOGY*, 4(1), 3-72.